

Fig. 1A PRIOR ART

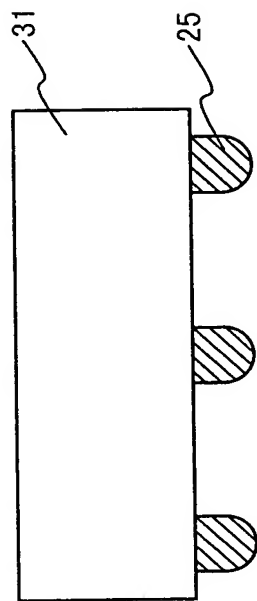
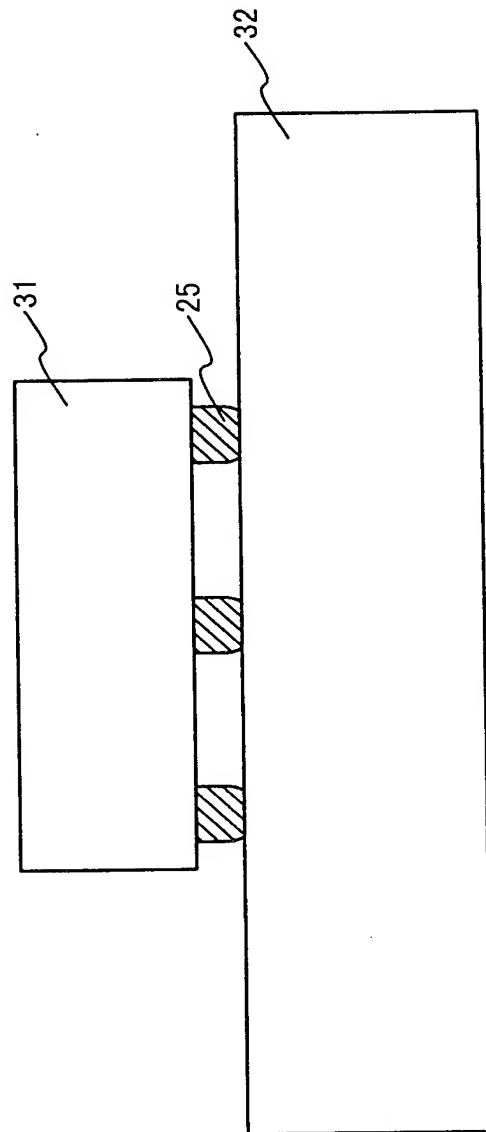


Fig. 1B PRIOR ART



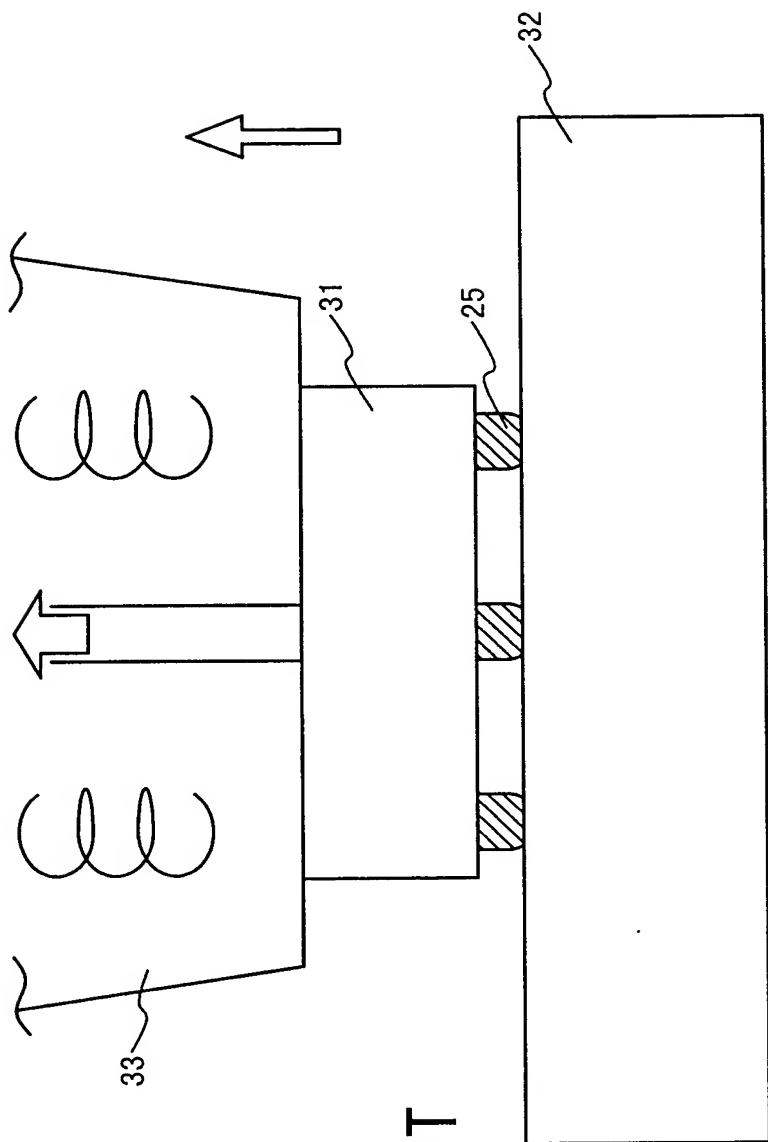


Fig. 1C
PRIOR ART

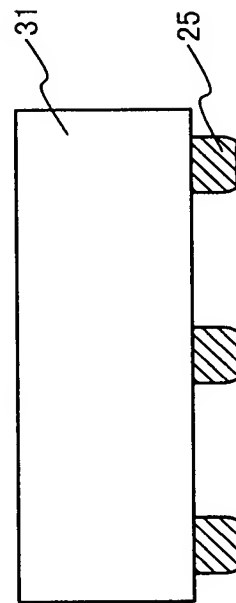
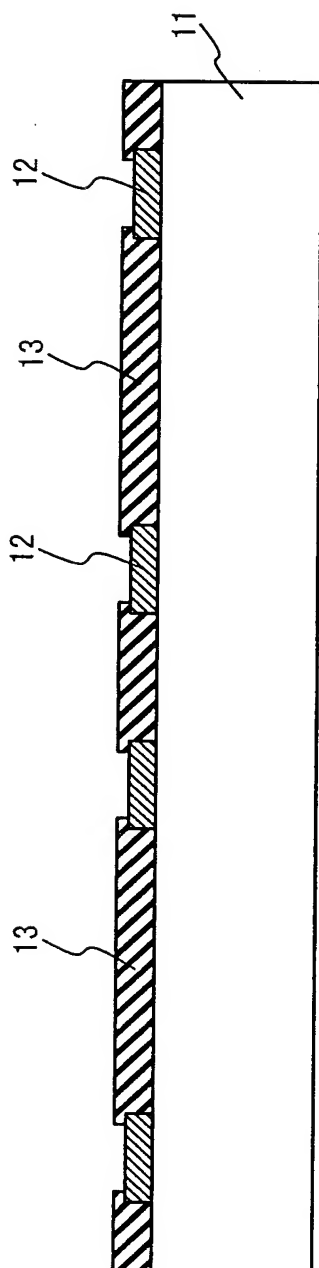


Fig. 1D
PRIOR ART

Fig. 2A



Fi 8.2B

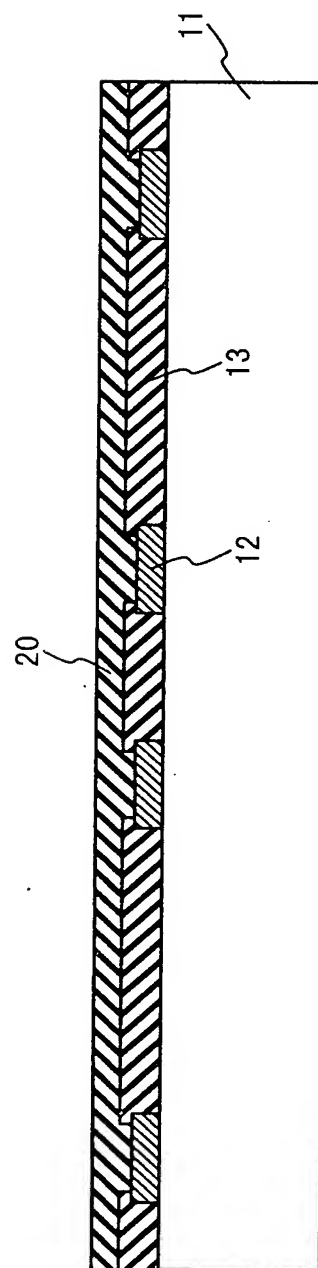


Fig. 2C

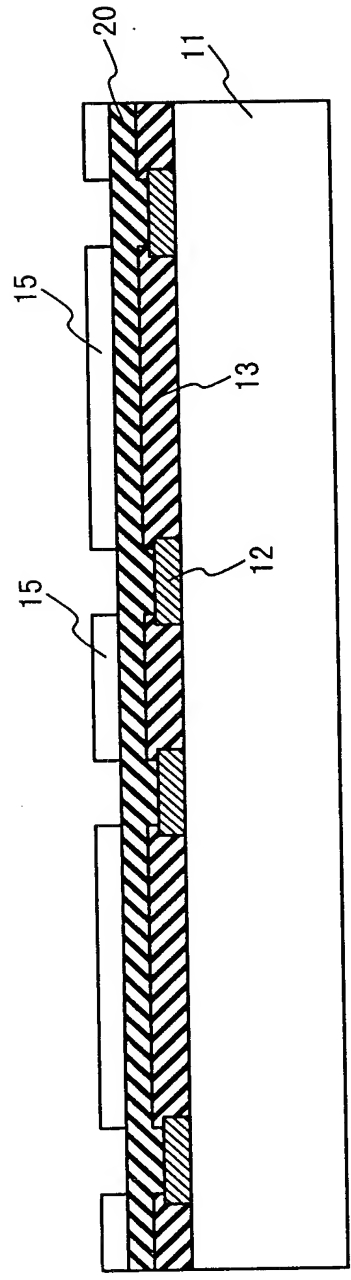


Fig. 2D

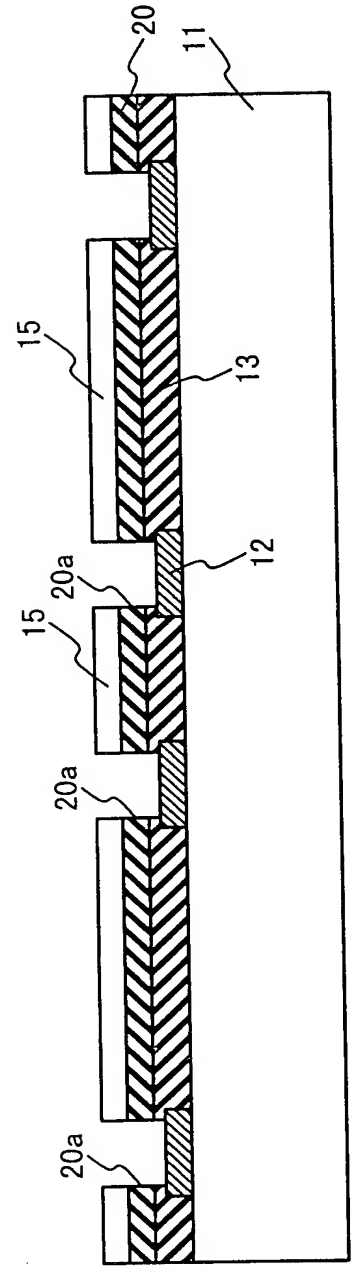


Fig. 2E

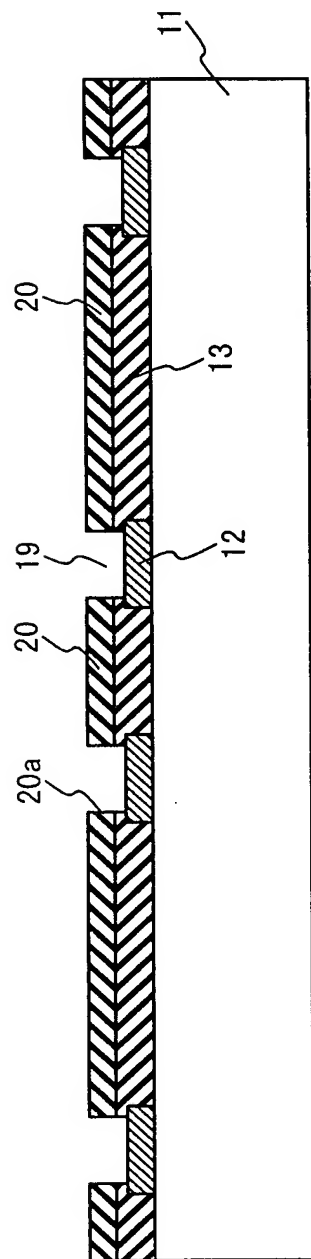


Fig. 2F

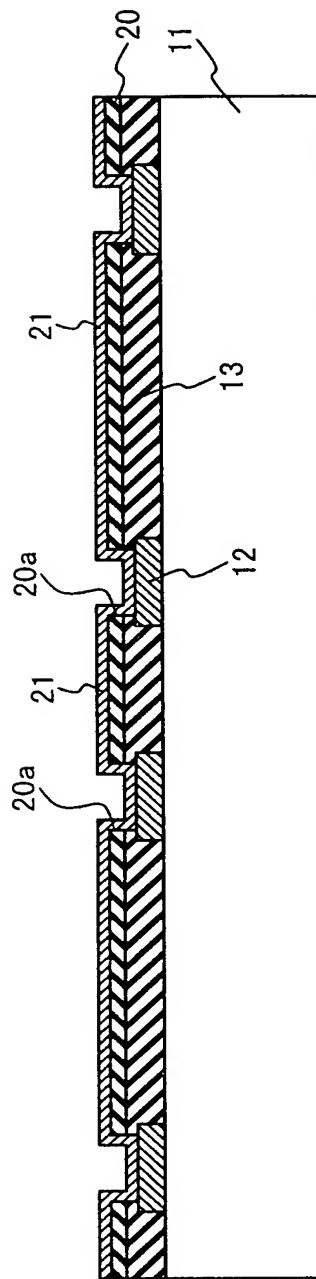


Fig. 2G

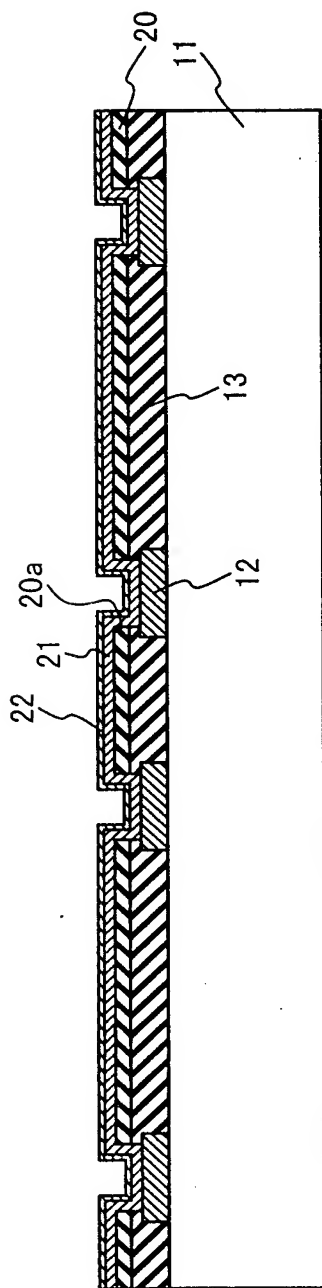


Fig. 2H

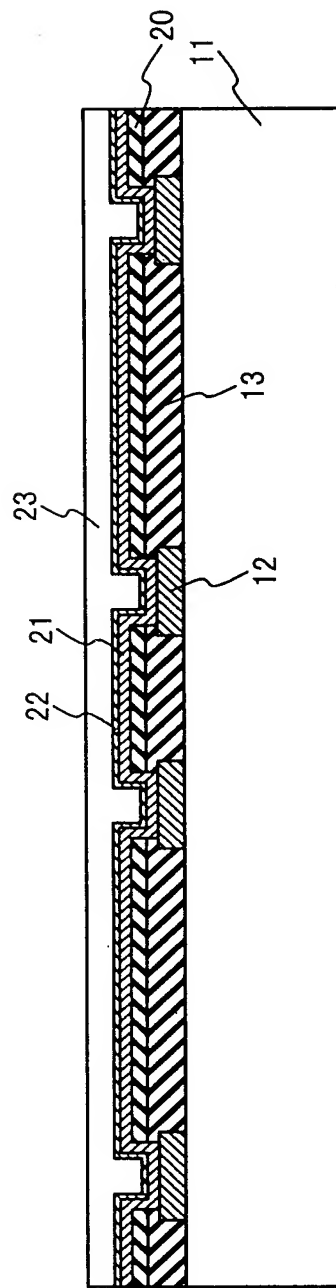


Fig. 2I

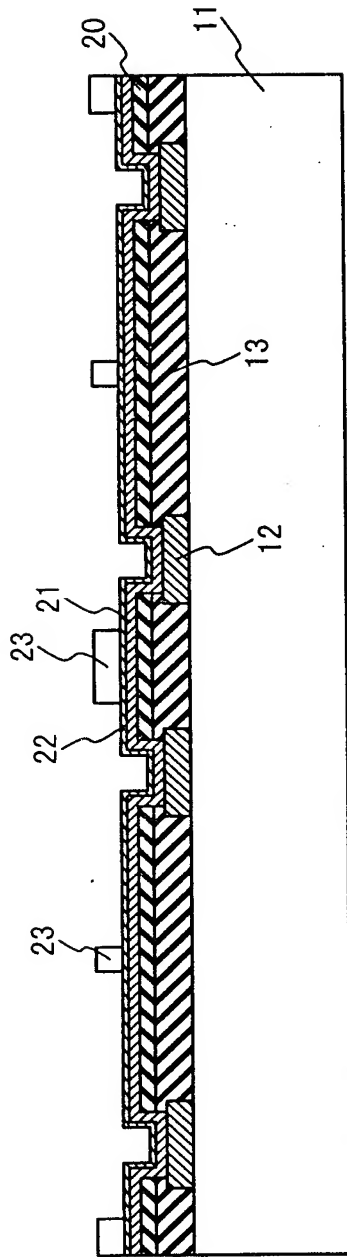


Fig. 2J

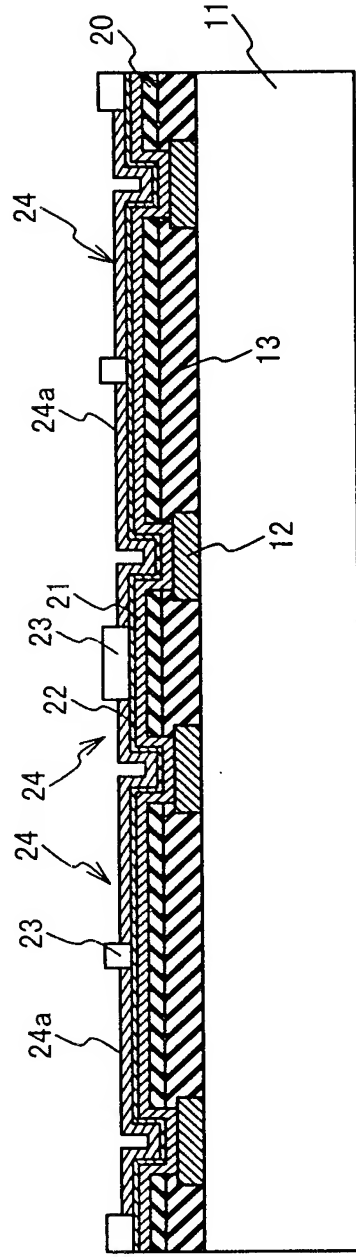


Fig. 2K

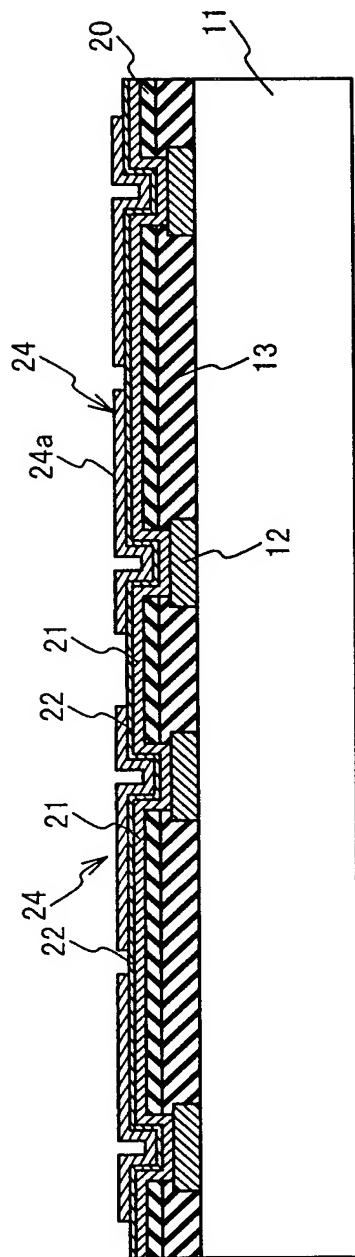


Fig. 2L

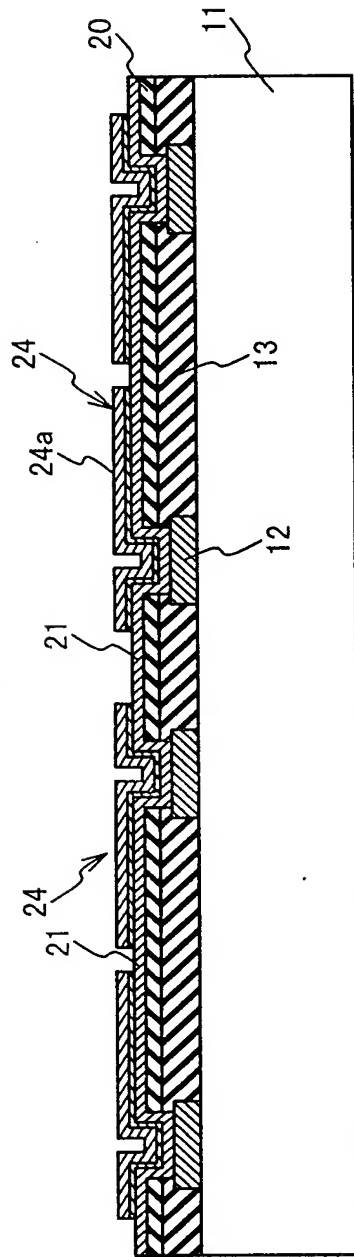


Fig. 2M

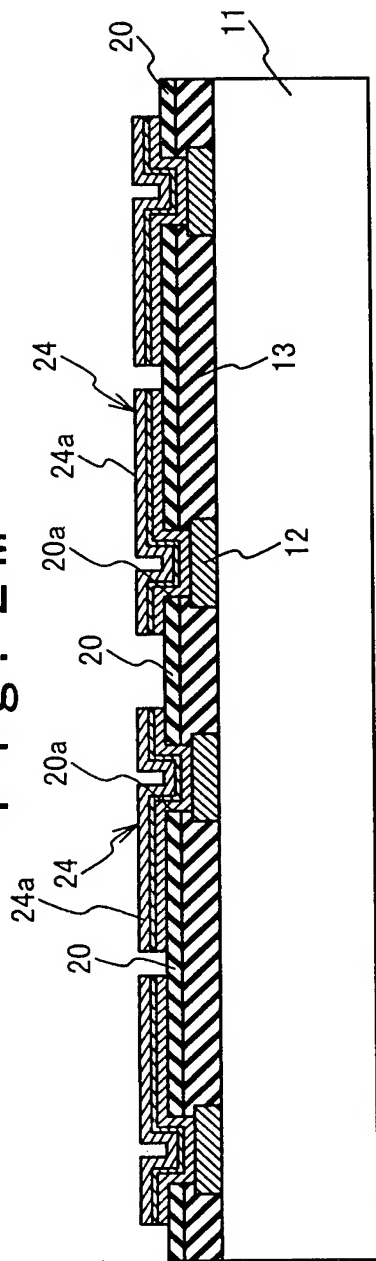


Fig. 2N

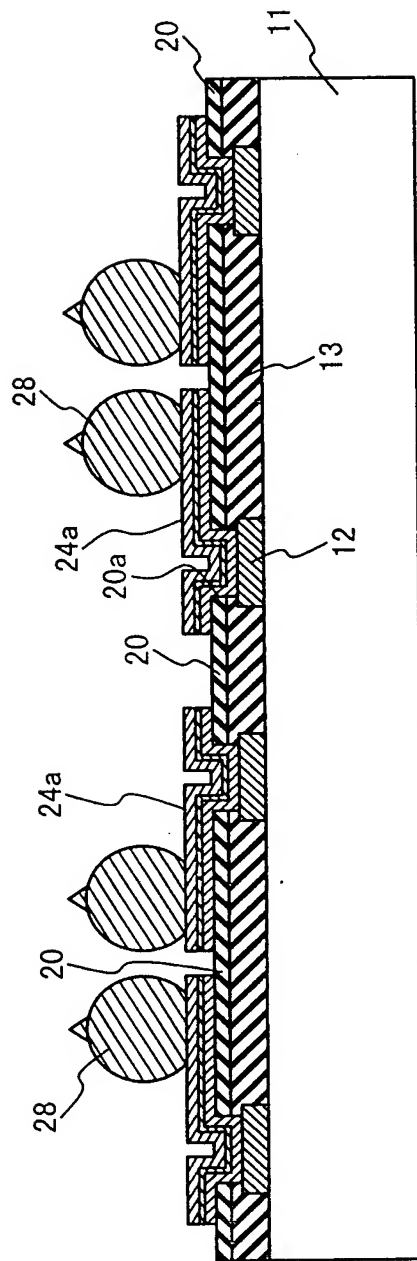


Fig. 20

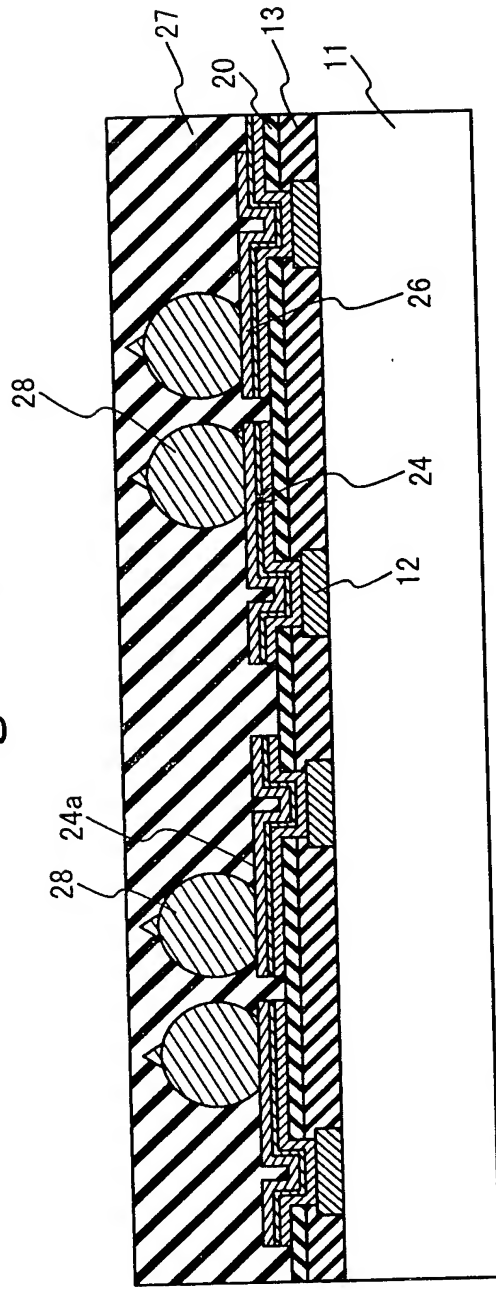


Fig. 2P

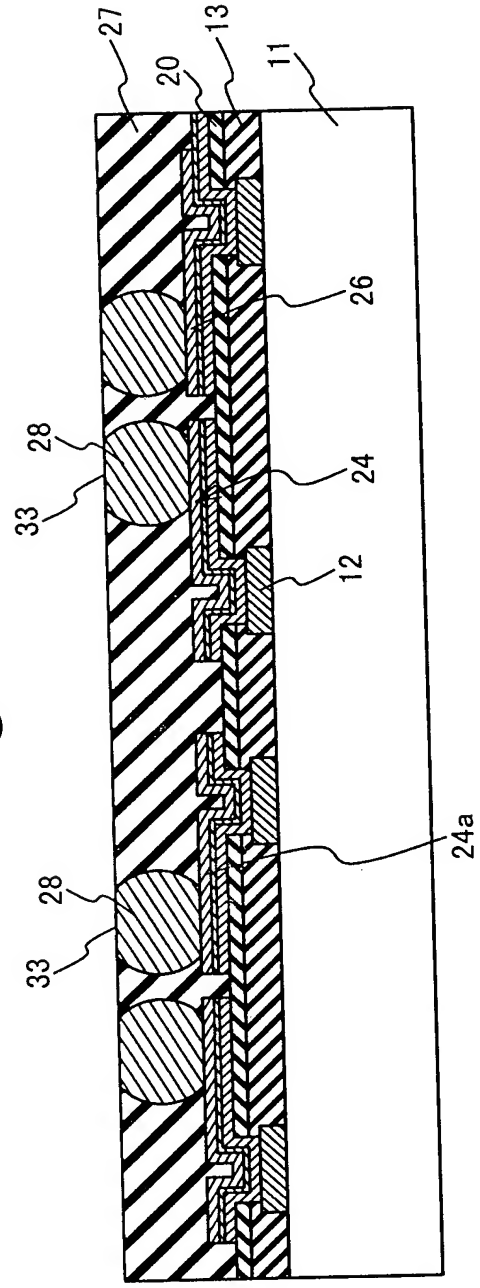


Fig. 2Q

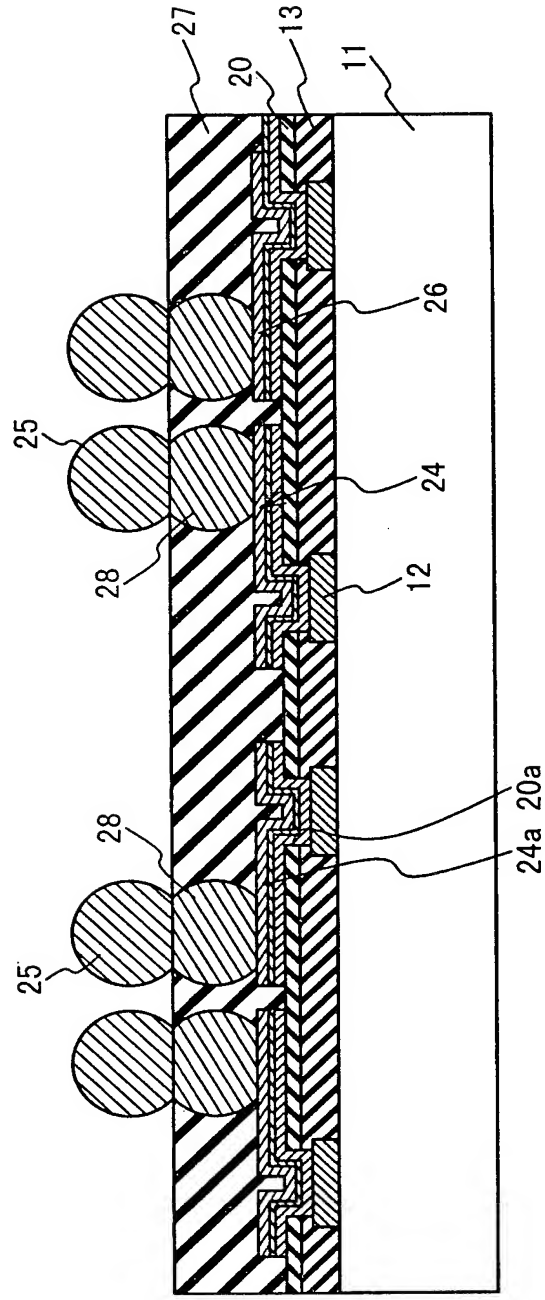


Fig. 2R

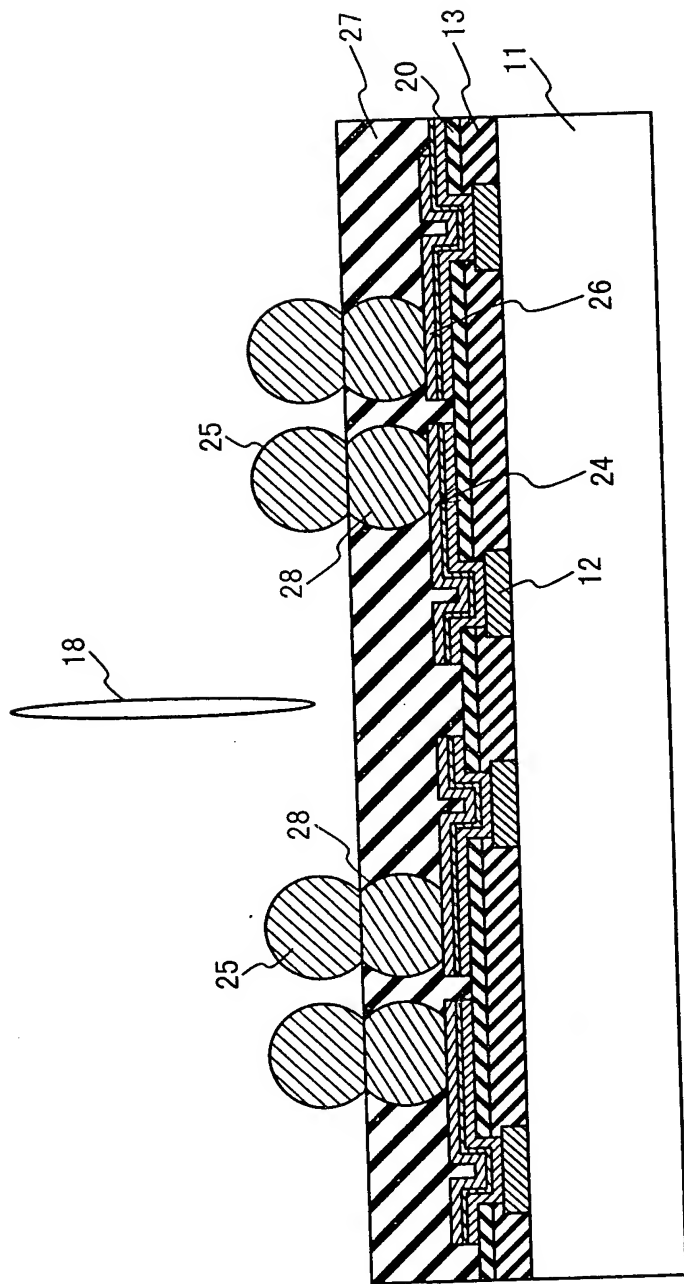


Fig. 2S

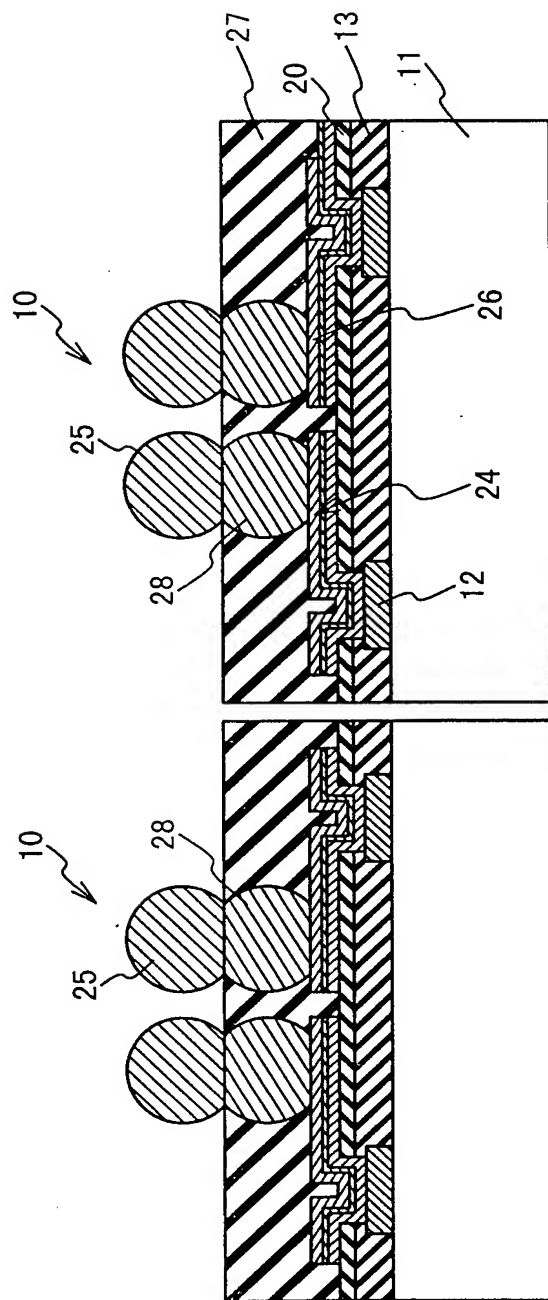
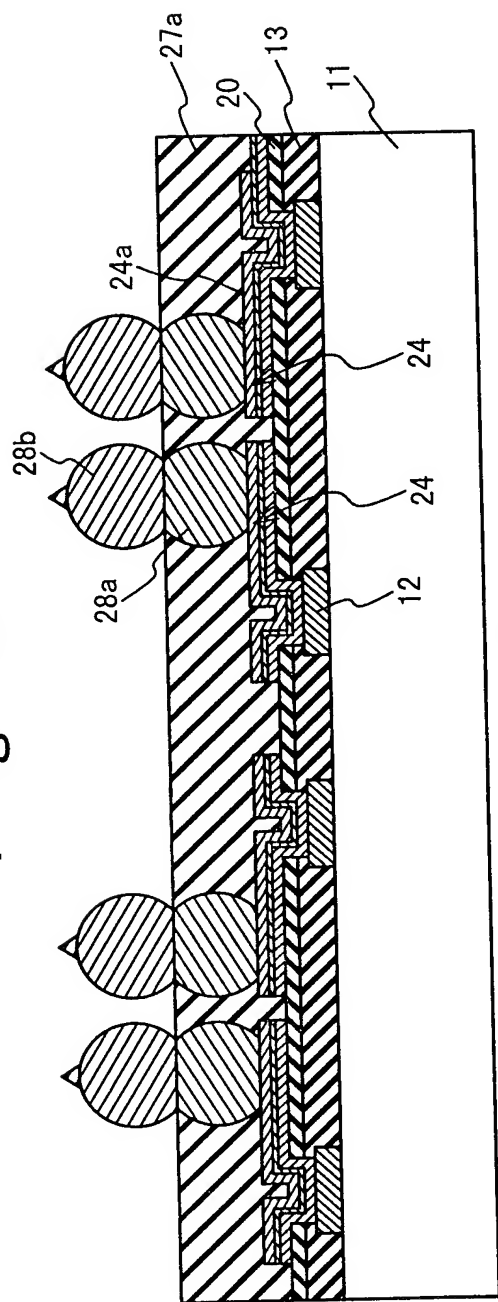


Fig. 3A



33-111

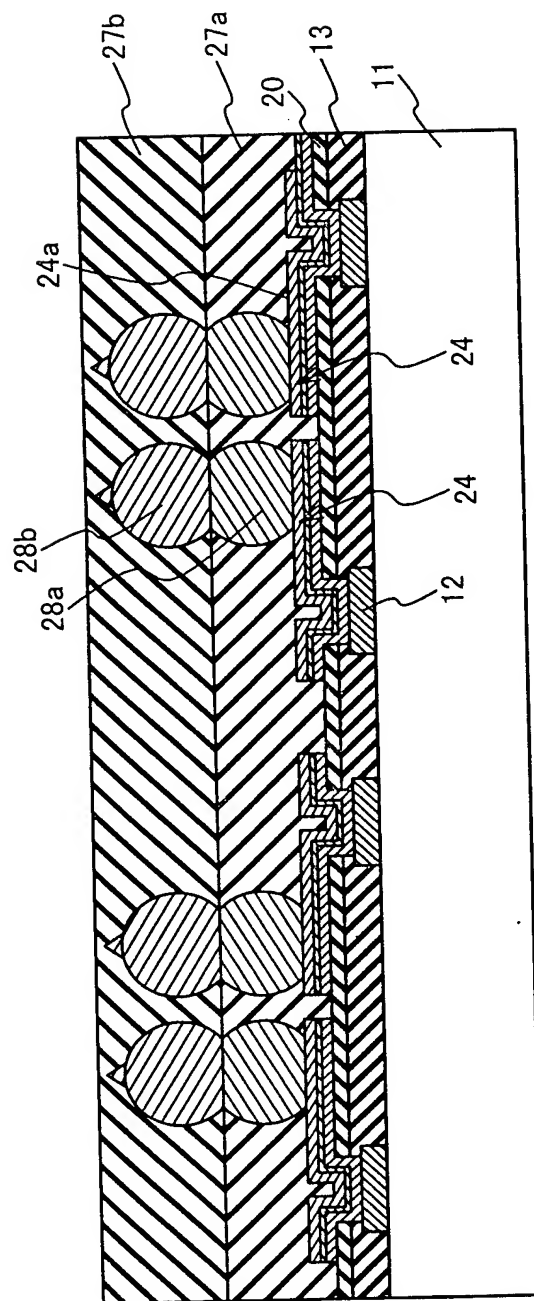


Fig. 3C

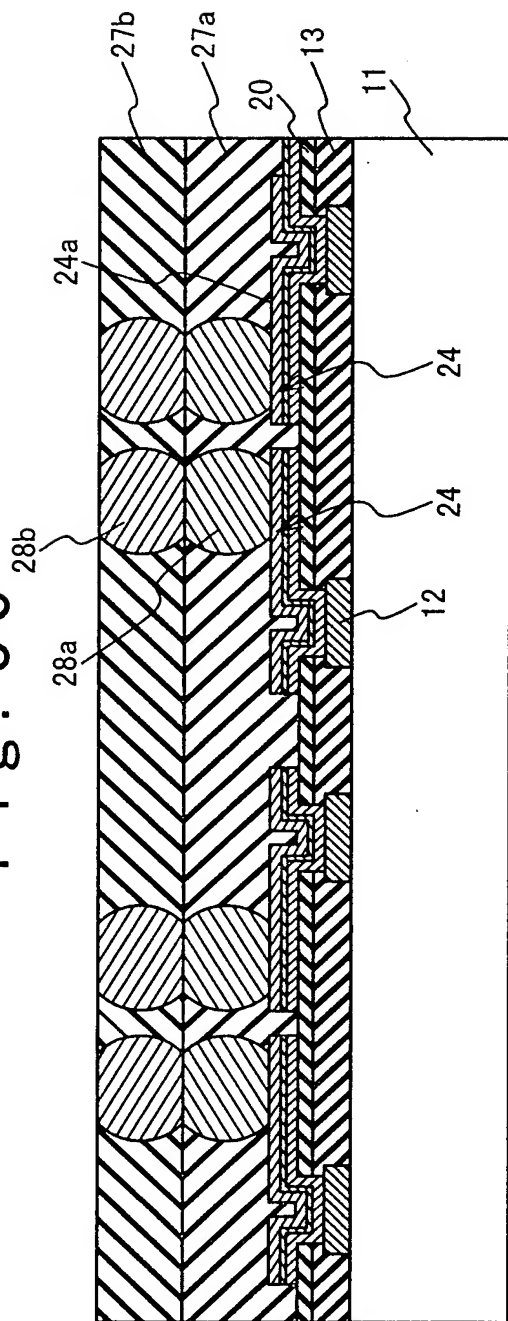


Fig. 3D

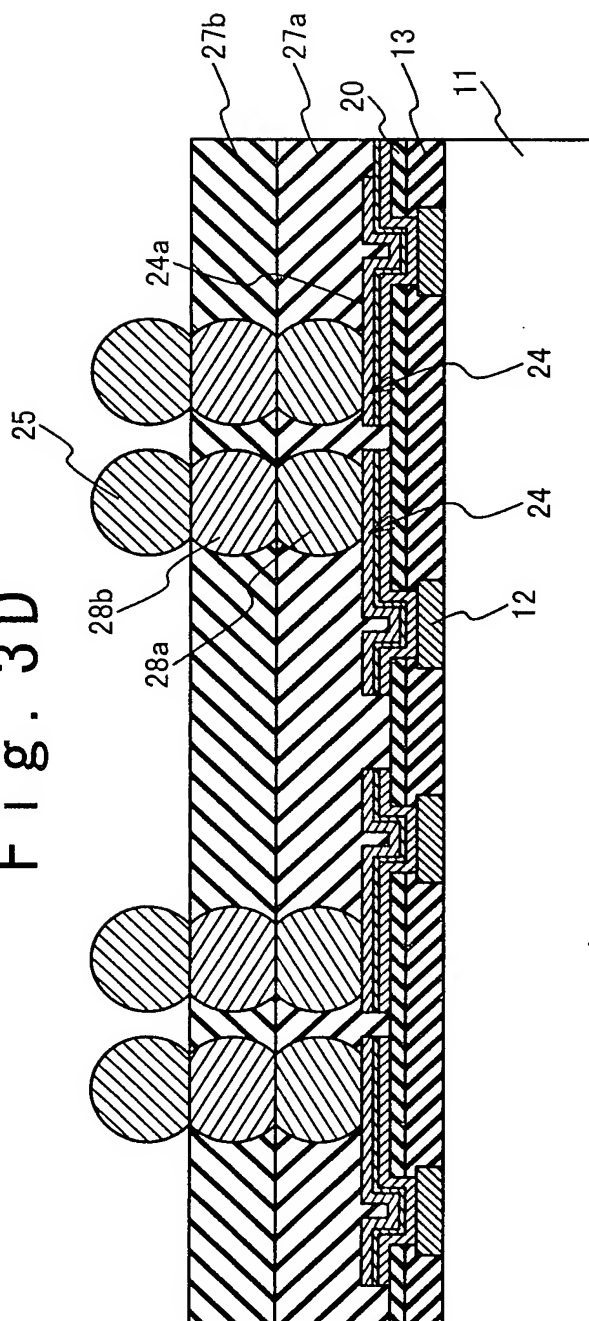
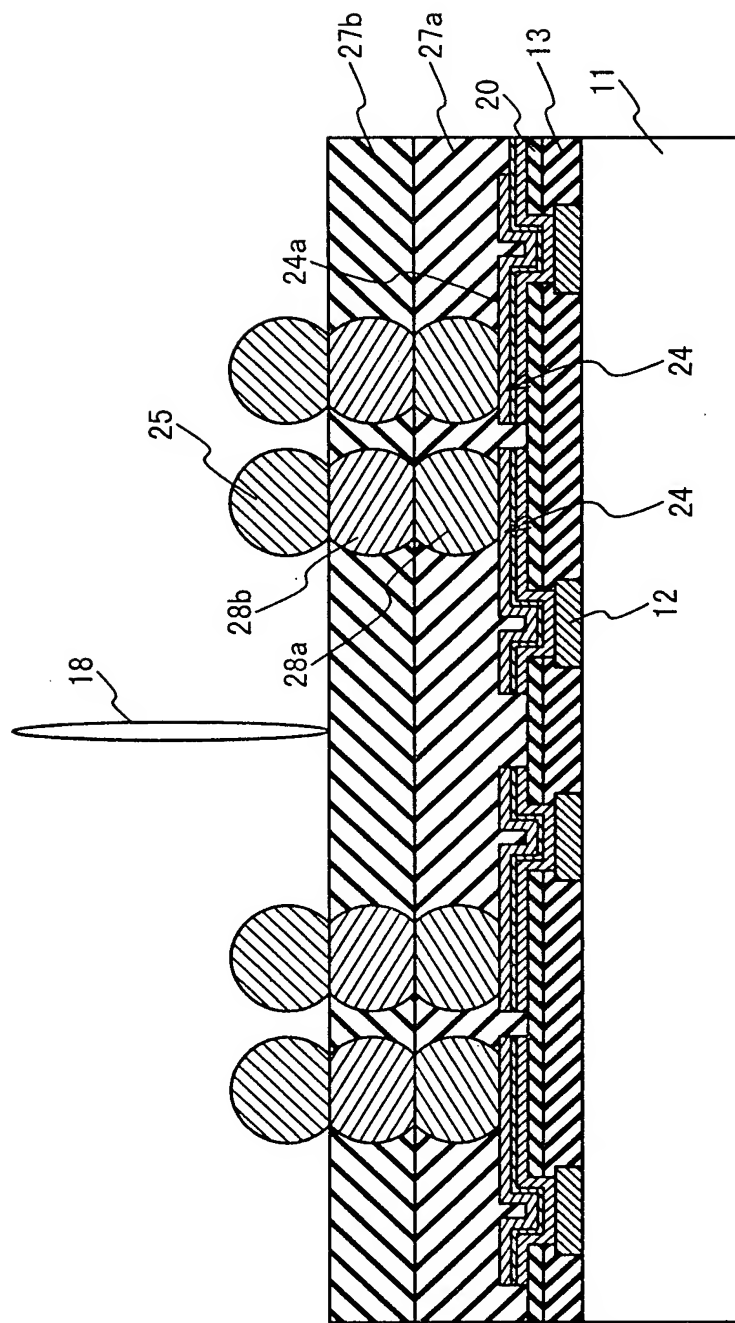


Fig. 3E



33

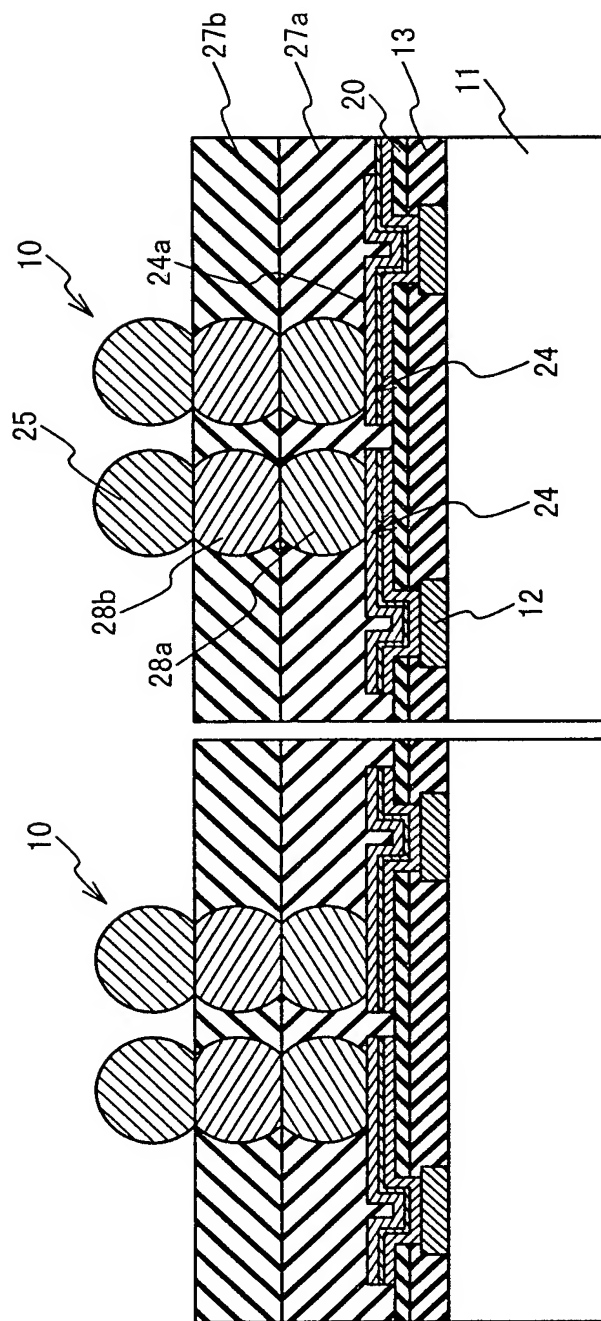


Fig. 4A

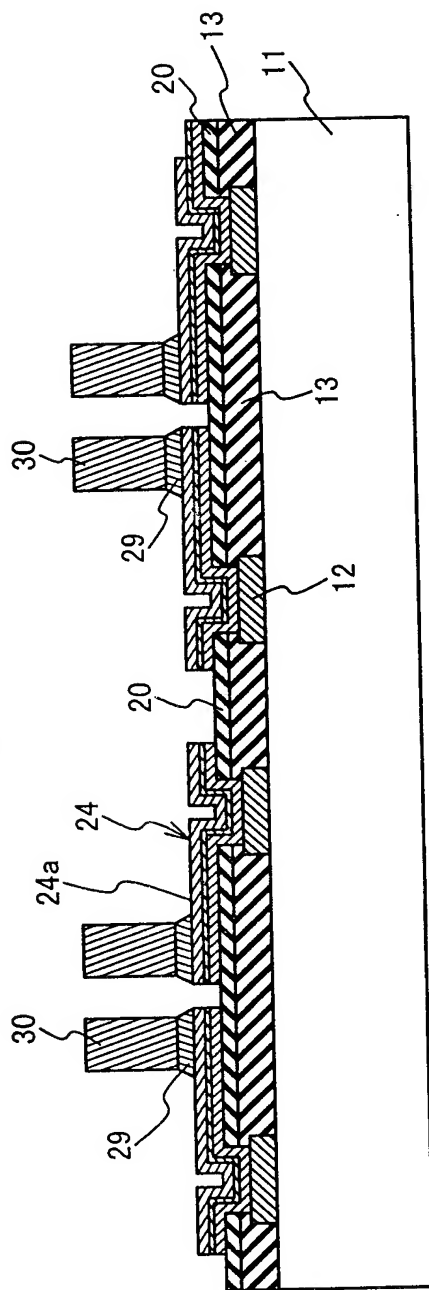


Fig. 4B

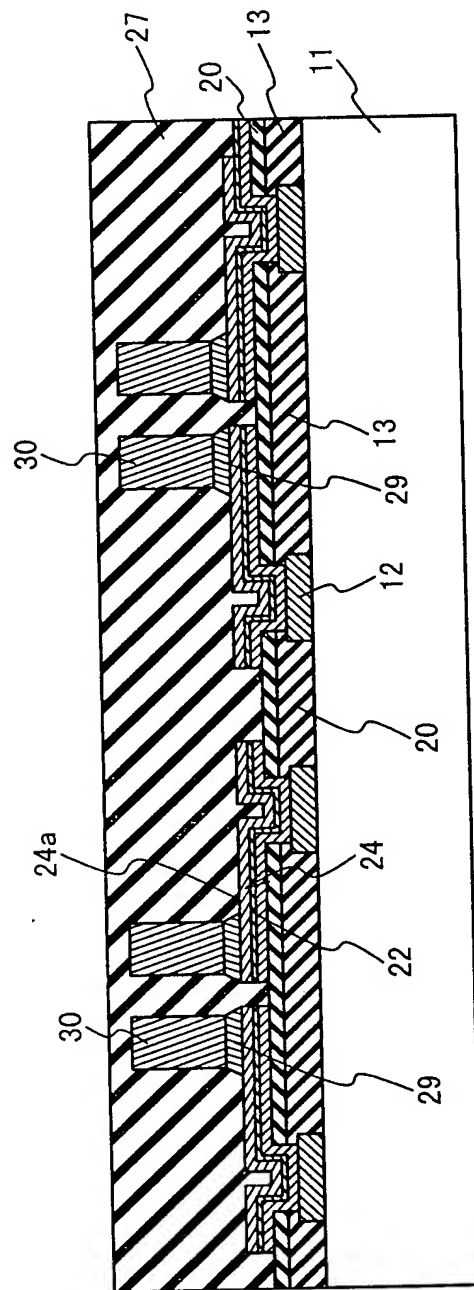


Fig. 4C

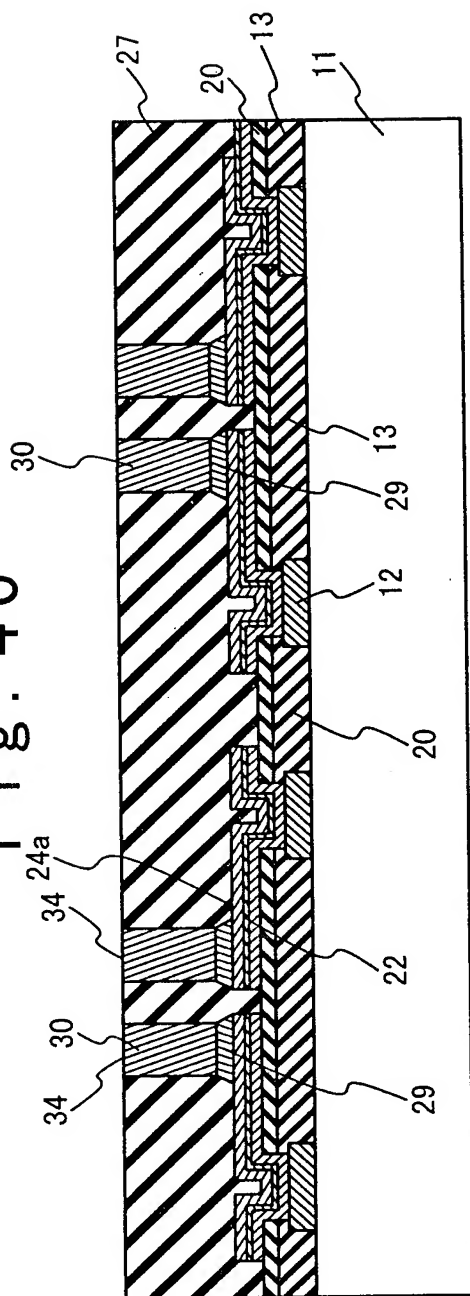


Fig. 4D

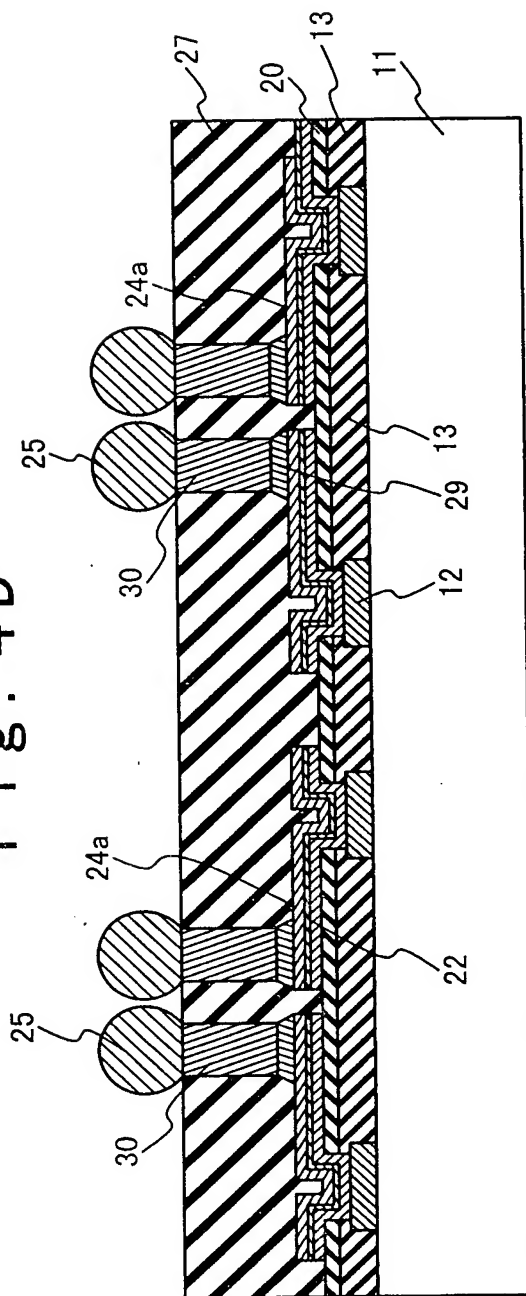


Fig. 4E

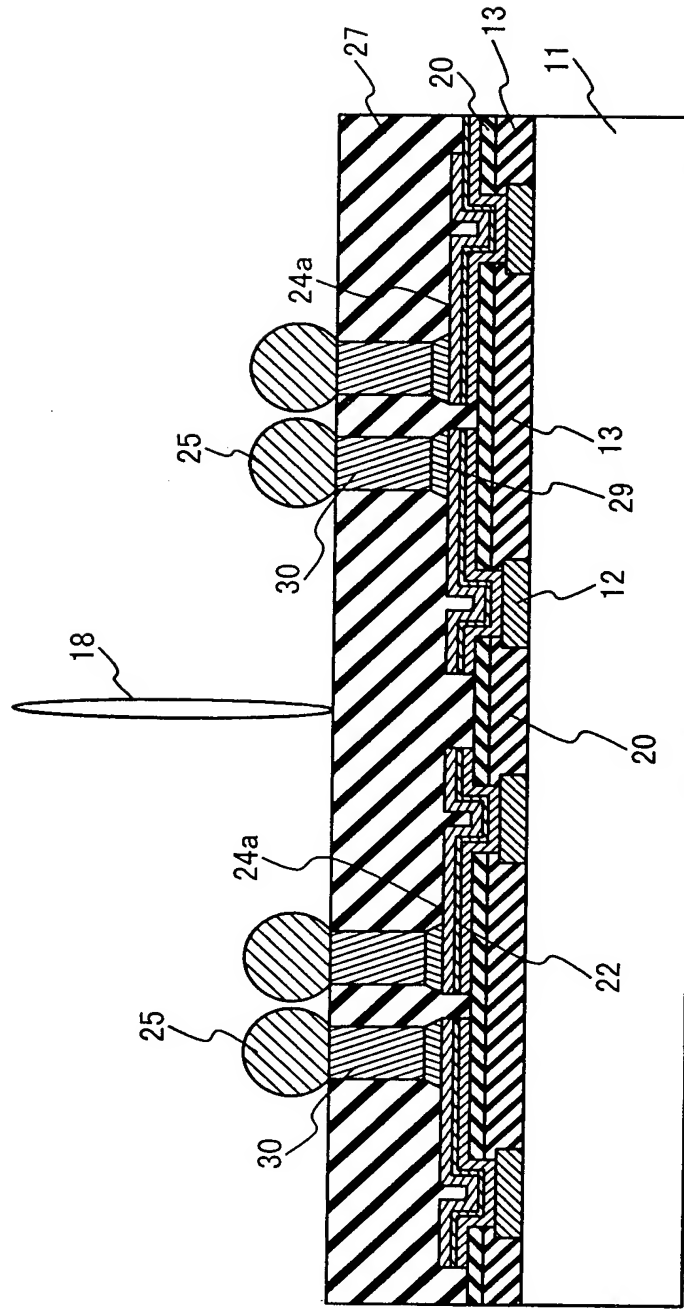


Fig. 4F

